

PROGNOSTIČKI UTJECAJ NF-κB EKSPRESIJE KOD PODSKUPINA DIFUZNOG B-VELIKOSTANIČNOG LIMFOMA

ŽELJKA ŠKUNCA i ANA PLANINC-PERAICA¹

Opća bolnica Zadar, Odjel za hematologiju, Zadar i Klinička bolnica Merkur, Klinika za unutarnje bolesti, Zagreb, Hrvatska

Difuzni B-velikostanični limfom (DLBCL) s fenotipom germinalnog centra B stanica (GCB) ima bolju prognozu nego limfom aktiviranih zrelih B-stanica (ABC) fenotip ili tip 3 podskupina. Prethodne studije su navodile da nuklearni faktor-κB (NF-κB) ima značajnu ulogu kod ABC i tip 3 fenotipa, dok GCB fenotip karakteriziraju česte REL amplifikacije. Upotreboim imunohistokemijske metode analizirali smo kod 99 bolesnika kojima je postavljena dijagnoza DLBCL prisutnost DC10, BCL6 i MUM1, da bismo mogli bolesnike podijeliti u GCB, ABC i tip 3 podskupine, te smo zatim analizirali prisutnu ekspresiju NF-κB u jezgri i u citoplazmi. Kod 22 (22 %) slučajeva prisutna je ekspresija NF-κB u jezgri kod svih podskupina DLBCL. NF-κB ekspresija u citoplazmi prisutna je u svim podskupinama DLBCL i nalazi se kod 77 (77%) bolesnika, i rezultat je značajan. Analizirali smo prisutnost CD10, Bcl6 i MUM1 i prisutnost NF-κB u jezgri i rezultati nisu značajni. Analiza nuklearne akumulacije NF-κB nije povezana ni s jednim kliničkim parametrom uključujući dob, spol, stadij bolesti, primijenjenu terapiju i MPI. Bolesnici s prisutnim NF-κB u citoplazmi bez obzira na podskupine prema Hansu i sur. imaju značajno lošije preživljjenje nego bolesnici koji nemaju prisutan NF-κB i rezultati su značajni. Bolesnici s GCB fenotipom i negativnom ekspresijom NF-κB u jezgri imaju bolje preživljjenje nego bolesnici s GCB fenotipom i pozitivnom ekspresijom NF-κB u jezgri i rezultati su značajni. Bolesnici koji su primali kemoterapiju po shemri R-CHOP i imaju pozitivan NF-κB u jezgri imaju bolje preživljjenje, ali rezultati nisu značajni. Ovi rezultati ukazuju na to da NF-κB ekspresija u jezgri i citoplazmi može biti prognostički čimbenik kod DLBCL i to može pojasniti slojevitost rizika kod bolesnika u kombinaciji s GCB / ne-GCB fenotipom. Naša analiza pokazuje da je NF-κB aktivnost kod svih podskupina DLBCL ključna i na taj način može predstavljati obećavajući molekularni cilj za buduće terapije.

Ključne riječi: nuklearni faktor -κB, difuzni B-velikostanični limfom, prognoza

Adresa za dopisivanje: Dr. sc. Željka Škunca, dr. med.
Opća bolnica Zadar
Odjel za hematologiju
Bože Perićića 3
23 000 Zadar, Hrvatska
E-pošta: skunca.zeljka@gmail.com
Mob: 098 9504180

UVOD

Difuzni B-velikostanični limfom (DLBCL) je najčešći tip limfoma u bolesnika odrasle dobi u zapadnim zemljama. Bolest se očituje različitom prezentacijom bolesti, različitim kliničkim tijekom, morfološkim i biološkim osobinama, te iz toga proizlazi i različita prognoza. Nezadovoljavajuća histopatološka reproducibilnost morfoloških tipova centroblastičnog i imunoblastičnog limfoma prepoznatih u prethodnim klasifikacijama, te agresivan klinički tijek i sličan na-

čin liječenja doveli su do definiranja novog histološkog tipa limfoma - difuzni B-velikostanični (DLBCL) u novoj klasifikaciji Svjetske zdravstvene organizacije (SZO) 2008. godine (Swerdlow i sur..2008.) (1,3). Na temelju genske ekspresije proteina (GEP) otkrivene su tri velike podskupine DLBCL i to su: limfomi stanica germinalnog centra B-stanični (GCB), limfom aktiviranih zrelih B-limfocita (ABC) i tip 3 ili primarni mediastinalni B-stanični limfom podskupina (PMBCL). Kako je tehnički jednostavnije odrediti stanično podrijetlo na temelju imunohistokemijskih analiza, nego

metodom genske ekspresije koju su koristili Alizadeh i sur. (2), otkriven je algoritam pomoću kojeg se imunohistokemijskim metodama mogu grupirati podtipovi ovog limfoma u one germinalnog centra i one ne-germinalnog centra. Prema najčešće korištenom algoritmu (Hans i sur.) koristi se imunohistokemijsko bojenje za CD10, BCL-6 i MUM1/IRF4 (4). Ove 3 podskupine DLBCL povezane su s bitno različitim kliničkim ishodima i 5-godišnje preživljavanje je 59 %, 30 % i 64 % kod pacijenata s GCB-DLBCL, ABC-DLBCL i PMBCL. GCB-DLBCL karakteriziraju česte REL amplifikacije, BCL2 translokacije i somatske hipermutacije imunoglobulinskih gena. Kao kontrast, ABC-DLBCL i PMBCL imaju konstitutivnu aktivaciju NF-κB puta, koji je potreban za opstanak, što nije značajka GCB-DLBCL (5). U našem smo radu stavili u istu skupinu bolesnike klasificirane kao ABC i tip 3 tj. PMBCL tj. ne-GCB bolesnike. I drugi autori isto tako grupiraju bolesnike (4,5,8), ma da ima autora koji jasno odvajaju te tri skupine (5,16).

Neovisno o dobro utemeljenim prognostičkim čimbenicima kao što je Međunarodni prognostički indeks (MPI) (11,12), bolesnici s genskom ekspresijom profila nalik GCB podskupini imaju značajno bolje preživljavanje nego oni s ABC podskupinom (5,9,11-15,18,19,21). Tip 3 podskupina ili PMBCL ima također lošu prognozu. Ta je skupina zastupana s heterogenom kategorijom koja još uvijek nije dobro definirana, mada ima autora koji jasno definiraju te tri podskupine (5,8,16). Prediktivna vrijednost klasifikacije Hans i sur. (2004.) pokazala se korisnom te su neka istraživanja pokazala dobru prediktivnu vrijednost (4,5,10,12,13,19), dok drugi autori to nisu mogli potvrditi (11,15,19).

NF-κB predstavlja skupinu srodnih homodimernih i heterodimernih transkripcijskih čimbenika koji mogu aktivirati različite skupine ciljnih gena uključenih u stanično preživljavanje, proliferaciju i imunološki odgovor (6,17,26).

To je skupina struktorno povezanih proteina koju sačinjavaju 5 članova:

RelA (p65), RelB, cRel, NF-κB1 (p50; p105), i NF-κB2 (p52; p100) koji dolaze u raznim homodimernim i heterodimernim oblicima (6). RelA, c-Rel i RelB imaju transaktivacijsku domenu C-terminalnog dijela. NF-κB1/p105 i NF-κB2/p100 su inaktivni prekursori p50 i p52 proteina i smješteni su u citoplazmi (29). Proteolitički proces pomici C-terminalnu inhibitornu domenu, što dovodi do pomicanja proteina u jezgru (25,26). P50 i p52 dolaze obično u obliku homodimera ili heterodimera, vezani s jednim od ta tri proteina, koji imaju transaktivacijsku domenu. RelA i p50 postoje u divljem obliku staničnog tipa, dok je c-Rel ekspresija ograničena na hematopoetske stanice i limfocite

(6,25). Ekspresija RelB ograničena je na visoko specifična mjesta kao što su timus, limfni čvorovi i Peyerove pločice. NF-κB je izražen u citoplazmi kod gotovo svih vrsta stanica, gdje je njegovo djelovanje pod kontrolom obitelji regulatornih proteina koji se zovu inhibitori NF-κB (IκB) (6,17).

NF-κB signalni put ima važnu ulogu u reguliranju preživljavanja normalnih i malignih B stanica kontrolirajući mnoge regulacijske puteve za smrt stanice. NF-κB može poboljšati preživljavanje stanica moduliranjem tumor nekrozis faktora tip $\frac{1}{2}$ receptora (TNFR1/2) signala inhibiranjem apoptoze posredstvom FAS i ograničavanjem aktivnosti BCL2 gena.

NF-κB (NF-κB) signalni put ima značajnu ulogu u reguliranju ekspresije gena bitnih za stvaranje urođenog i adaptivnog imunološkog odgovora. To su TNF, VEGF, IL-1, IL-6, ciklin D1, c-MYC (6).

U neaktivnom stanju, NF-κB heterodimeri (c-REL ili RELA homolog i NF-κB1) postoje u citoplazmi vezani na inhibitor kappa B (IκB). Tijekom NF-κB aktivacije I-kappa-kinaze (IκK) fosforilacijom IκB dovodi do razgradnje inhibitora u citoplazmi NF-κB heterodimera. Aktivirani NF-κB heterodimer je translociran u jezgru gdje potiče transkripciju NF-κB okrenutu ciljnim genima (5,17). Prisutnost NF-κB molekularne ekspresije kod podskupina DLBCL je različito izražena.

Cilj ovog rada je procijeniti utjecaj NF-κB ekspresije prisutne u citoplazmi i jezgri kod podskupina GCB i ne-GCB DLBCL koristeći imunohistokemijsku analizu i s obzirom na kliničke značajke bolesnika. Zatim smo kod naših bolesnika na retrospektivnom uzorku analizirali primjenu imunokemoterapije, rituksimaba i CHOP, i samo kemoterapije po protokolu CHOP i prisutnost NF-κB u citoplazmi i u jezgri.

BOLESNICI I METODE

Bolesnika s dijagnozom DLBCL uključenih u ovu studiju u razdoblju od 2000. do 2009., od kojih su retrospektivno sakupljeni podaci iz povijesti bolesti, bilo je 99 (53 - 54 % žena i 46 - 45 % muškaraca u dobi od 24 do 87 god., medijan dobi 59,3), prethodno nelijelenih u Klinici za unutarnje bolesti Kliničke bolnice "Merkur" u Zagrebu i Općoj bolnici Zadar. Bolesnici su imali adekvatne kliničke podatke i patohistološki uzorak koji omogućuje analize. Bolesnici s prethodnom dijagnozom indolentnog limfoma ili oni koji primaju imunosupresivnu terapiju ili imaju AIDS/HIV infekcije isključeni su iz studije. Također nisu uključeni bolesnici s primarnim limfomom centralnog nervnog sistema DLBCL, primarni kutani DLBCL, Epste-

in-Barrov virus pozitivni DLBCL ili medijastinuma. Svi su slučajevi klasificirani po klasifikaciji Svjetske zdravstvene organizacije (SZO) (Swerdlow i sur. 2008) (1).

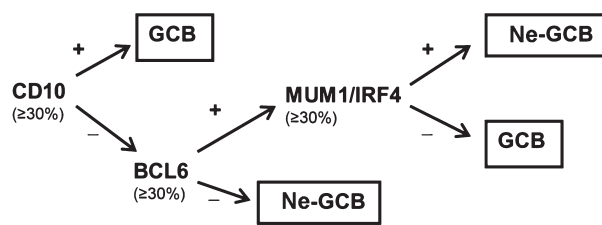
Početno su učinjene kliničke i morfološke analize, laboratorijske (hematološke i biokemijske) analize, biopsija kosti, ultrazvučni nalaz abdomena, kompjutorska tomografija vrata, abdomena, toraksa. Klinički stadij je određen prema klasifikaciji Ann Arbor i MPI ocijenjen je na negativnim prognostičkim čimbenicima. Svi su bolesnici liječeni kemoterapijom po shemi CHOP s primjenom rituksimaba ili bez primjene.

MORFOLOŠKA ANALIZA

Patohistološka analiza je postavljena na temelju histoloških i imunofenotipskih karakteristika tumorskog tkiva prema klasifikaciji SZO (1). Iz parafinskih su kocki uzeta dva reprezentativna cilindra tumorskog tkiva bioptičkom iglom (*Tissue microarray* 8010 Sakura Finetek). Rezovi debljine 2 µm bojeni su standardnim bojenjem: H&E, Giemsa, PAS, Gomori. Rezovi iste debljine obrađeni su imunohistokemijskim metodama.

IMUNOHISTOKEMIJSKE METODE

Na svim je uzorcima određena ekspresija biljega CD20 (klon 1.26, razrijeđenje 1:200 – Dako Glostrup Danska); CD3 (poliklonalno MoAb razrjeđenje 1:400 – Dako); CD10 (klon 56C6 RTU- Dako); Bcl6 (klon PG-bcl6p RTU – Dako); MUM1 (klon MUM1p RTU – Dako, te anti-NFκB (Santa Cruz, USA kat. br. sc8008). Postupci deparafiniranja kao i demaskiranja proteina rađeni su u PT-linku (Dako-Cytomation) na +97 °C tijekom 20 minuta kod pH 9.0. Za vizualizaciju ekspresije biljega korišten je komercijalni kit EnVision™ Flex High pH uz kromogen 3,3' diamino benzidin (DAB) u automatiziranom sustavu Dako Autostainer.



Sl. 1. Podjela prema imunohistokemijskom algoritmu prema Hansu i sur. (2004.) (4)

GCB skupina – tumori koji su CD10+ i bcl6+ ili CD10-, bcl6+, MUM1 -

ABC skupina – tumori koju su CD10 -, bcl6 -, MUM1+ ili CD10 -, bcl6+, MUM1+

Tip3- tumori koji su CD10 -, bcl6 -, MUM1 -

Sve analize provedene su korištenjem statističkog paketa STATISTICA verzija 9.0.

REZULTATI

Svi su analizirani bolesnici liječeni po shemi CHOP (ciklofosfamid, doksorubicin, vinkristin, prednison) s imunoterapijom rituksimab ili bez nje. U citoplazmi je NF-κB bio pozitivan u 77 (77 %) bolesnika i nađena je značajna razlika između navedenih podskupina. Na temelju tih rezultata 26 (26 %) bolesnika imalo je GCB fenotip, a 52 (52 %) ne-GCB fenotip. U rezultatima nalazimo značajnu razliku u frekvenciji ekspresije NF-κB koji se nalazi u citoplazmi između GCB i ne-GCB fenotipa ($p=0,017$) (tablica 1). Analizirali smo ekspresiju CD10, Bcl6, MUM1 i s obzirom na podjelu na GCB i ne-GCB fenotip, te prisutnost NF-κB u jezgri. Ekspresija CD10, Bcl6 i MUM1 bila je prisutna kod 21 od 99 (22 %) bolesnika, 52 od 99 (52 %) i 59 od 99 (59 %) bolesnika. GCB fenotip je imalo 26 (26 %), a ne-GCB 73 (73 %) bolesnika upotreboom klasifikacije Hansa i sur. (2004.). Dvadeset i dva bolesnika (22 %) su imala pozitivnu NF-κB nuklearnu ekspresiju. Naši rezultati nisu značajni (tablica 2). Zatim smo analizirali mnoge kliničke parametre koji su povezani s prisutnom ili odsutnom ekspresijom NF-κB u jezgri. Nije nađena značajna povezanost između prisutnosti NF-κB u jezgri i dobi, spola, stadija bolesti, terapije, te MPI. Osamdeset i četiri (85 %) bolesnika su imala niski MPI (≤ 2 niski i niski intermedijarni) i 16 (16 %) bolesnika je imalo visoki (> 3 visoki intermedijarni i visoki) čimbenik rizika za smrtni ishod (tablica 3).

Tablica 1.
Podjela NF-κB biljega u citoplazmi dobivenih imunohistokemijskom analizom kod podskupina DLBCL prema Hansu i sur. (2004).

PHD/Hans	NF-κB citoplazma		Sve skupine	P
	Poz	Neg		
GCB	25 (25%)	1 (1%)	26	0,017
	52 (52%)	21 (21%)	73	
	77	22	99	

Legenda: GCB- limfom germinalnog centra B stanica, ne GCB (ABC-aktivirani B- stanični limfom, tip 3 - primarni medijastinalni B-stanični limfom) $\chi^2=12,1$, $p=0,003$

Tablica 2.

Usporedba ekspresije NF- κ B u jezgri s drugim imunohistokemijskim bilježima kod DLBCL

Parametar	n	NF- κ B		hi-kvadrat	p
		Negativni (77)	Pozitivni (22)		
CD10					
Neg	74	55	15	0,922	0,337
Poz	25	18	7		
Bcl6					
Neg	47	32	15	4,603	0,327
Poz	52	45	7		
MUM1					
Neg	40	33	7	0,983	0,321
Poz	59	44	15		
GCB vs. ne-GCB vs.					
Ne-GCB	73	56	17	0,157	
GCB	26	21	5		0,692

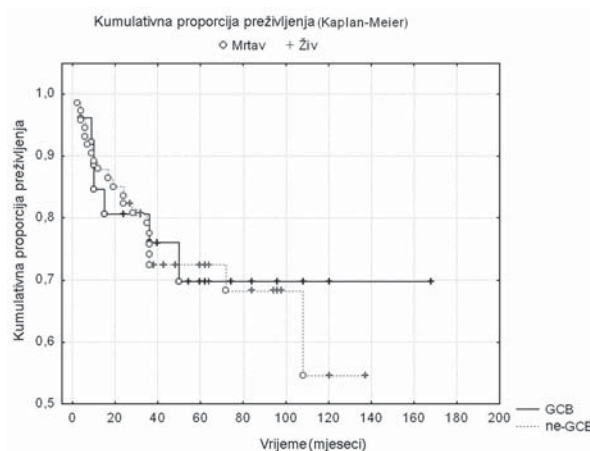
Tablica 3.

Usporedba kliničkih obilježja i primjenjene terapije u bolesnika s pozitivnom i negativnom NF- κ B ekspresijom u jezgri

Parametar	N	Ekspresija NF- κ B u jezgri		hi-kvadrat	p
		Negativni (77)	Pozitivni (n=22)		
Dob					
<60	45	38	7	2,284	0,131
≥60	54	39	15		
Spol					
Muški	45	37	8	1,05	0,305
Ženski	54	40	14		
Stadij					
I i II	53	43	10	0,743	0,389
III i IV	46	34	12		
Terapija					
CHOP	45	40	5	5,261	0,174
R- CHOP	54	37	17		
MPI					
Niski (≤2)	83	66	17	0,950	0,320
Visoki (3-5)	16	11	5		

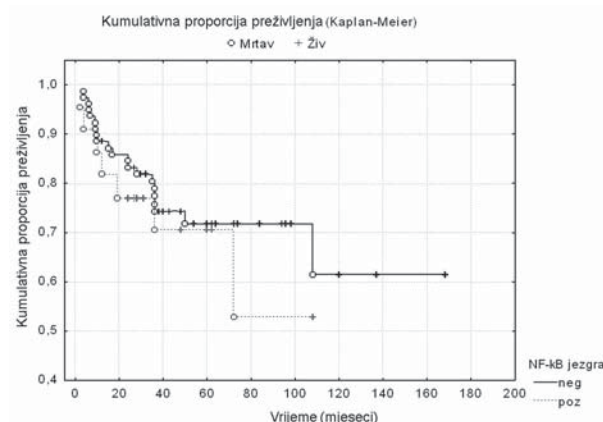
Analizirali smo preživljenje bolesnika s podskupinama DLBCL prema Hansu i sur. (2004.) i nije nađena značajna razlika u preživljaju (sl. 2). Rezultati su učinjeni prema klasifikaciji Hansa i sur. (2004.) za definiranje GCB i ne-GCB fenotipa. Nadalje, analizirali smo preživljenje bolesnika s NF- κ B pozitivnim nalazom u jezgri i podskupinama DLBCL prema Hansu i sur. i nije nađena značajna razlika (sl. 3).

Analizirali smo očekivano preživljenje bolesnika s DLBCL-om s obzirom na prisutnost NF- κ B u jezgri bez obzira na podskupine DLBCL i rezultat nije značajan (sl. 4).



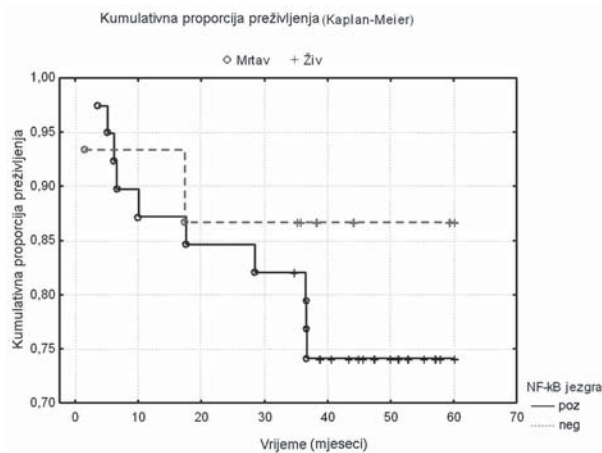
Sl. 2. Analiza preživljaja bolesnika s podskupinama DLBCL prema Hansu i sur. (2004.)

Legenda: GCB - limfom germinalnog centra B stanica, ne-GCB (aktivirani B stanični limfom, i tip 3 - primarni mediastinalni B-stanični limfom). $\chi^2=0,872988$, $p=0,714$



Sl. 3. Analiza preživljaja bolesnika s prisutnim NF- κ B u jezgri i podskupinama DLBCL prema Hansu i sur. (2004.)

Legenda: GCB - limfom germinalnog centra B stanica, ne-GCB (aktivirani B stanični limfom, i tip 3 - primarni mediastinalni B-stanični limfom). $\chi^2=0,872988$, $p=0,714$



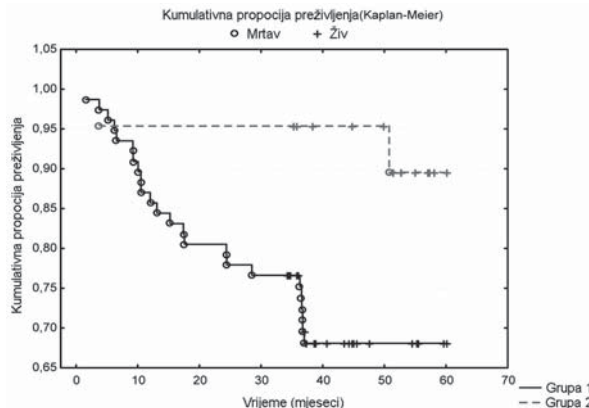
Sl. 4. Očekivano preživljivanje bolesnika s NF- κ B negativnom i NF- κ B pozitivnom ekspresijom u jezgri neovisno o Hans algoritmu Gehan's Wilcoxon test

WW = 103,00 Sum = 1787E2 Var = 30973,
 Test statistic = 0,5824152 p = 0,56029

Analizirali smo preživljivanje bolesnika s DLBCL-om i prisutnim NF- κ B u citoplazmi i rezultati su značajni. Bolesnici koji nemaju pozitivan NF- κ B u citoplazmi imaju značajno bolje preživljivanje (analiza preživljavanja Kaplan-Meier, p=0,037) (sl. 5).

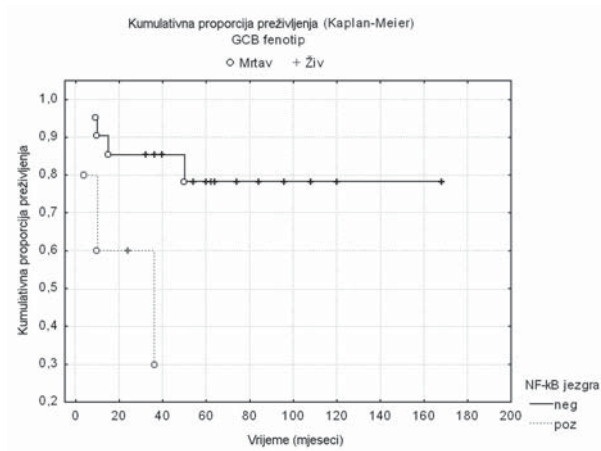
Analiza očekivanog preživljavanja bolesnika s GCB fenotipom i prisutnim NF- κ B u jezgri pokazala je da bolesnici s GCB fenotipom i negativnim NF- κ B imaju značajno bolje preživljivanje (analiza preživljavanja Kaplan-Meier, p=0,044) (sl. 6).

Rezultati analize očekivanog preživljavanja bolesnika s ne-GCB fenotipom i prisutnom ekspresijom NF- κ B. U našim analizama kod bolesnika s ne-GCB fenotipom prisutna NF- κ B ekspresija nije se pokazala značajnom (sl. 7). Rezultati analize očekivanog preživljavanja bolesnika liječenih kemoterapijskom shemom CHOP i imunkemoterapijom R-CHOP, i prisutnom ekspresijom NF- κ B u jezgri nisu se pokazali značajnim (sl. 8).

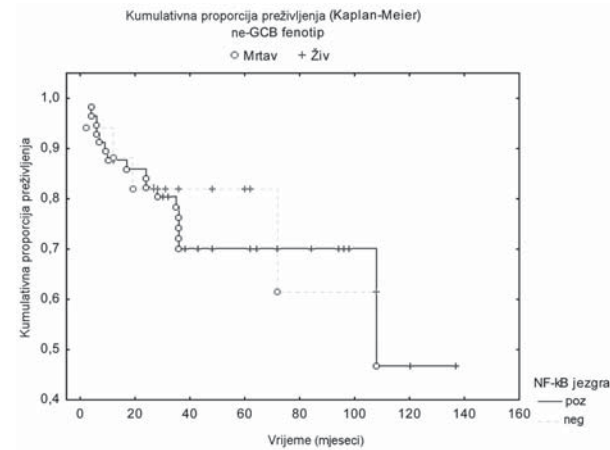


Sl. 5. Preživljivanje bolesnika s prisutnošću NF- κ B u citoplazmi
 Legenda: Grupa 1: - NF- κ B poz, Grupa 2: - NF- κ B neg.

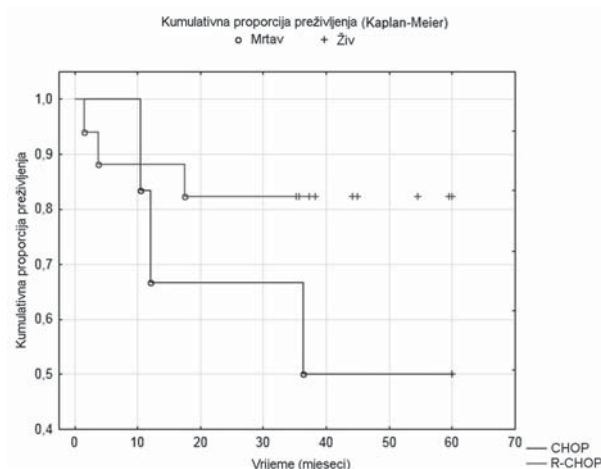
$\chi^2=2,076$, p=0,037



Sl. 6. Očekivano preživljivanje bolesnika s GCB fenotipom i NF- κ B negativnom i NF- κ B pozitivnom ekspresijom u jezgri
 $\chi^2=2,012589$ p=0,04416



Sl. 7. Očekivano preživljivanje bolesnika s ne-GCB fenotipom i NF- κ B negativnom i NF- κ B pozitivnom ekspresijom u jezgri
 $\chi^2=-0,416599$ p = 0,67697



Sl. 8. Očekivano preživljivanje bolesnika liječenih kemoterapijama po shemi CHOP i R-CHOP i pozitivnim NF- κ B u jezgri.
 $\chi^2=5,49647$ p=0,175

RASPRAVA

Genska ekspresija difuznog B-velikostaničnog limfoma ima dvije velike prognostički različite podskupine - limfome germinalnog centra i aktivirani B-stanični limfom, i treću miješanu kategoriju tip 3, koja također ima lošu prognozu. Algoritam koji se temelji na kombinaciji ekspresije CD10, Bcl6 i MUM1/IRF4 razlikuje dvije klinički relevantne podskupine bolesnika. U našem radu imamo veći broj bolesnika s ne-GCB podskupinom. Nađena učestalost ne-GCB fenotipa analiziranih slučajeva je podudarna u odnosu na literaturne podatke prema kojima 30 % do 65 % slučajeva DLBCL predstavlja fenotipsku ne-GCB skupinu (4,5,8,10-12,22), dok neki drugi autori imaju više bolesnika s GCB fenotipom (8,11,13,14,18). ABC DLBCL i GCB DLBCL imaju jasnu genetsku i biološku razliku, GCB DLBCL nastaje podrijetlom od centroblasta germinalnog centra (GC), dok ABC DLBCL nastaje konstitutivnom aktivacijom NF-κB signalnog puta i nastaje ekspresija NF-κB ciljnih gena, koji imaju utjecaj na aktivnosti NF-κB na proliferaciju i preživljjenje (5,18) (sl. 2).

U našim rezultatima u citoplazmi je NF-κB pozitivan u 77 (77 %) bolesnika i u 52 (52 %) bio je prisutan ne-GCB fenotip. Naša analiza ekspresije proteina NF-κB u citoplazmi dala je značajne rezultate. NF-κB obitelj transkripcijskih faktora ima centralnu ulogu u imunom procesu, inflamatornom i akutnoj fazi odgovora. NF-κB je uključen u kontrolu aktivacije limfocita, proliferaciju i apoptozu. Aktivacija NF-κB može dovesti do različitih signalnih puteva koji su okidač za različite citokine, faktore rasta i tirozin kinaze (26). NF-κB sačinjavaju dimeri od pet članova i većina je vezana u citoplazmi pomoću inhibitornih IκB proteina (6). Nuklearna translokacija NF-κB događa se kada ekstracelularni stimulansi aktiviraju kompleks IκB kinaze (IKK). Budući da NF-κB postoji i u citoplazmi i u jezgri, samo je nuklearni oblik sposoban za vezivanje na DNA i reguliranje genske ekspresije (29). ABC DLBCL ima visoku nuklearnu NF-κB DNA vezanu aktivnost. To je konstitutivna IκB kinaza (IKK) aktivnost, i nagli IκBα pad nije viđen u staničnim linijama koje predstavljaju drugu DLBCL podgrupu, a to je GCB (6). (tablica 1).

Rezultati algoritma Hansa i sur. (2004.) daju bolje predviđanje podrijetla stanica koje je definirano kao GEP. GEP je zlatni standard u definiranju molekularnog podtipa DLBCL. Ta se imunohistokemijska analiza temelji na tri antitijela (CD10, Bc16 i MUM1) i klasificira DLBCL u dvije podskupine: GCB i ne-GCB, jasno predviđa preživljjenje bolesnika (4,5). U našim analizama nismo dokazali prediktivnu vrijednost klasifikacije Hansa i sur. (2004.) i ta se analiza nije pokazala konstruktivnom. Neka su istraživanja poka-

zala dobru prediktivnu vrijednost (12,13,22), dok drugi autori to nisu mogli potvrditi (11,13).

Preživljjenje bolesnika s prisutnim NF-κB u citoplazmi je značajno lošije u našim analizama, mada se u literaturi navodi da je citoplazmatska lokalizacija dimera NF-κB vezana za inhibitorni IκB protein, i tako prisutna u inaktivnom obliku (29). Niskihori i sur. (2005.) navode da je ekspresija NF-κB u citoplazmi prisutna praktički kod svih stanica, gdje je aktivnost kontrolirana pomoću članova regulacijskih proteina nazvanih inhibitori NF-κB (6,28). Očekivano preživljjenje bolesnika s prisutnim NF-κB u citoplazmi prikazano je na sl. 5. Rezultati su značajni ($p=0,037$).

Naši rezultati pokazuju da DLBCL s GCB fenotipom i negativna NF-κB ekspresija u jezgri mogu imati bolji klinički ishod. Naša je analiza rađena na uzorku od 21 bolesnika, koji imaju GCB fenotip i negativnu ekspresiju NF-κB u jezgri. Curry i sur. (2009.) navode da detaljne mehanizme koji vode boljoj prognozi u GCB podtipu bolesnika bez NF-κB ekspresije tek treba razjasniti. Jedan od mogućih mehanizama može biti povećana osjetljivost stanica na kemoterapiju zbog nedostatka NF-κB aktivacije i redukcije anti-apoptotičkih signala u neoplastičnim limfocitima (10). Smanjeno preživljjenje među bolesnicima GCB fenotipa s prisutnom ekspresijom NF-κB u jezgri ukazuje da stanice limfoma, čak i uz dobar prognostički fenotip, mogu postati otporne na kemoterapiju kada je NF-κB put aktiviran (10). Kod bolesnika s ne-GCB fenotipom i prisutnom ekspresijom NF-κB u jezgri (17 bolesnika) ne nalazimo značajne rezultate. Curry i sur. (2009.) navode da preživljjenje bolesnika s ne GCB fenotipom i prisutnom nuklearnom ekspresijom NF-κB nije povezano, te to ukazuje da su uključeni neki drugi putevi i vode do agresivnijeg kliničkog tijeka (10).

Analizirali smo povezanost između primijenjene kemoterapije i imunokemoterapije i prisutne NF-κB ekspresije i u našim analizama nema značajnosti. Bolesnici koji su liječeni imunokemoterapijom po shemi R-CHOP imaju bolje preživljjenje, ali rezultati nisu značajni. Rituksimab inhibira konstitutivnu aktivaciju NF-κB i posljedica toga je osjetljivost tumorskih stanica na kemoterapiju i Fas inducirana apoptozu. Regulacija BCL-XL ekspresije pomoću inhibicije NF-κB povezana je s osjetljivosti stanica na kemoterapiju (20,21). Poznato je da rituksimab inhibira konstitutivni NF-κB signalni put. Rituksimab umanjuje fosforilaciju IκB, smanjuje IKK aktivnost i smanjuje NF-κB DNA vezanu aktivnost (20). Bortezomib je proteazomski inhibitor koji blokira citoplazmatski IκBα i pri tome inhibira NF-κB nuklearnu translokaciju. Taj lijek ima antiproliferativna i proapoptočka svojstva i za sada je našao primjenu u liječenju multiplog mijeloma u prvoj liniji (25).

ZAKLJUČAK

Naše analize upućuju na to da procjena ekspresije NF-κB u citoplazmi i u jezgri u usporedbi s podskupinama GCB i ne-GCB DLBCL klasificiranima imunohistokemijskim metodama po Hansu i sur. (2004.) može poboljšati procjenu rizika za preživljjenje. Da bi se potkrijepilo kliničko značenje naših nalaza potrebne su analize na većem broju bolesnika.

LITERATURA

1. Swerdlow SH, Campo E, Harris NL, Jaffe ES, Pileri SA, Stein H. WHO Classification of tumours of haematopoietic and lymphoid tissues. International Agency for Research on Cancer, Lyon; - i sur. 233-237.
2. Alizadeh AA, Eisen MB, Davis RE i sur. Distinct types of diffuse large B-cell lymphoma identified by gene expression profiling. *Nature* 2000;403:503-11.
3. Campo E, Swerdlow SH, Harris NL, , Pileri SA, Stein H., Jaffe ES. The 2008 WHO Classification of lymphoid neoplasms and beyond: evolving concepts and practical applications. *Blood* 2011; 117: 5019-32.
4. Hans CP, Weisenburger DD, Greiner TC, Gascoyne RD, Delabie J, Ott. Confirmation of the molecular classification of diffuse large B-cell lymphoma by immunohistochemistry using a tissue microarray. *Blood* 2004; 103: 275-82.
5. Bea S, Zettl A, Wright G, Salaverria I, Jehn P, Moreno V. Diffuse large B-cell lymphoma subgroups have distinct genetic profiles that influence tumor biology and improve gene-expression-based survival prediction. *Blood* 2005; 106: 3183 -90.
6. Nishikori M. Classical and alternative NF- κB activation pathways and their roles in lymphoid malignancies. *J Clin Exp Haematopathol* 2005; 45: 15-24.
7. Davis RE, Brown KD, Siebenlist U, Staudt LM. Constructive nuclear factor κB activity is required for survival of activated B cell-like diffuse large B-cell lymphoma cells. *J Exp Med* 2001; 194: 1861-74.
8. Rosenwald A, Staudt LM. Gene expression profiling of diffuse large B-cell lymphoma. *Leuk Lymphoma* 2003; 44: S41-S7.
9. Moskowitz C H, Zelenetz A D, Kewalramani T, Hamlin P, Lessac-Chenen S, Houldsworth J. Cell of origin, germinal center versus nongerminal center, determined by immunohistochemistry on tissue microarray, does not correlate with outcome in patients with relapsed and refractory DLBCL. *Blood* 2005; 106: 3383-5.
10. Curry CV, Ewton AA, Olsen RJ i sur. Prognostic impact of C-REL expression in diffuse large B-cell lymphoma. *J Hematopathol* 2009; 2: 20-6.
11. Nyman H, Jerkeman M, Karjalainen-Lindsberg ML, Banham A, Leppa S. Prognostic impact of activated B-cell focused classification in diffuse large B cell lymphoma patients treated with R-CHOP. *Modern Pathol* 2009; 22: 1094-1101.
12. Seki R, Ohshima K, Fujisaki T, Uike N, Kawano F, Gondo H. Prognostic impact of immunohistochemical biomarkers in diffuse large B-cell lymphoma in the rituximab era. *Cancer Sci* 2009; 100: 1842-7.
13. Imhoff GW, Boerma EJ, der Holt B, Schuuring E, Verdonck LF, Kluin Nelemans HC. Prognostic impact of germinal center-associated proteins and chromosomal breakpoints in poor-risk diffuse large B-cell lymphoma. *Am Soc Clin Oncol* 2006; 10: 4135-42.
14. Choi WWL, Weiseburger DD, Grenier TC, Piris MA, Barrharn AH, Delabie J. A new immunostain algorithm classified diffuse large B-cell lymphoma into molecular subtypes with high accuracy. *Clin Cancer Res* 2009; 15: 5494-5502.
15. Copie-Bergman C, Gaulard P, Leroy K, Briere J, Baia M, Jais JP. Immuno-fluorescence *in situ* hybridization index predicts survival in patients with diffuse large B-cell lymphoma treated with R-CHOP: A GELA study. *J Clin Oncol* 2009; 27: 5573-9.
16. Testoni M, Zucca E, Young KH, Bertoni F. Genetic lesions in diffuse large B-cell lymphomas. *Ann Oncol* 2015; 26: 1069-80.
17. Gilmore TD, Kalaitzidis D, Liang MC i sur. The c-REL transcription factor and B- cell proliferation: a deal with devil. *Oncogene* 2004; 23: 2275-86.
18. Compagno M, Lim WK, Grunn A i sur. Mutations of multiple genes cause deregulation of NF-κB in diffuse large B-cell lymphoma. *Nature* 2009; 459: 717-22.
19. Houldsworth J, Olshen AB, Cattoretti G. Relationship between REL amplification, REL function, and clinical and biologic features in diffuse large B-cell lymphomas. *Blood* 2004; 103: 1862-8.
20. Vega M, Jazirehi AR, Huerta-Yeper S, Bonavida B. Rituximab-induced inhibition of YY1 and Bcl-xL expression in Ramos non-Hodgkin's lymphoma cell line via inhibition of NF-kappa B activity: role of YY1 and Bcl-xL in Fas resistance and chemoresistance, respectively. *J Immunol* 2005; 175: 2174-83.
21. Pavan A, Spina M, Canzonieri V, Sansorronno S, Toffoli G, De Re V. Recent prognostic factors in diffuse large B-cell lymphoma indicate NF-kappaB pathway as a target for new therapeutic strategies. *Leuk Lymphoma* 2008; 49: 48-58.
22. Meyer PN, Fu K, Greiner TC i sur. Immunohistochemical methods for predicting cell of origin and survival in patients with diffuse large B-cell lymphoma treated with rituximab. *J Clin Oncol* 2011; 29: 200-7.
23. Reber R, Banz Y, Garamvolgyi E, Perren A, Novak U. Determination of the molecular subtypes of diffuse large B-cell lymphomas using immunohistochemistry. A case series from the Inselspital, Bern and a critical appraisal of this determination in Switzerland. *Swiss Med Weekly* 2013; 143: 137-48.
24. Lenz G, Staudt LM. Aggressive Lymphomas. *N Engl J Med* 2010; 362: 1417-29.
25. Juvekar A, Manna S, Ramaswami S i sur. Bortezomib induces nuclear translocation of IkBα resulting in gene specific suppression of NF-κB-dependent transcription and induction of apoptosis in CTCL. *Mol Cancer Res* 2011; 9: 183-94.

26. Dolcet X, Llobet D, Pallares J, Guiu XM. NF-κB in development and progression of human cancer. *Virchows Arch* 2005; 446: 475-82.
27. Li Z, Wang X, Yu RYI i sur. BCL 6 negatively regulates expression of the NF-κB1 p105/p50 subunit. *J Immunol* 2005; 174: 205-13.
28. Pfreundschuh M, Ho AD, Cavallin-Ståhl E, Wolf M, Pettengell R, Vasova I. MabThera International Trial (MinT) Group. Prognostic significance of maximum tumour (bulk) diameter in young patients with good-prognosis diffuse large-B-cell lymphoma treated with CHOP-like chemotherapy with or without rituximab: an exploratory analysis of the MabThera International Trial Group (MinT) study. *Lancet Oncol* 2008; 9: 435-44.
29. Schmid JA, Birbach A. IκB kinase β (IKKβ/IKK2/IKBKB)- A key molecule in signaling to the transcription factor NF-κB. *Citokine & Growth Factor Rev* 2008; 19: 157-65.

S U M M A R Y

PROGNOSTIC ROLE OF NF-κB EXPRESSION IN DIFFUSE LARGE B-CELL LYMPHOMA SUBGROUPS

Ž. ŠKUNCA and A. PLANINC-PERAICA¹

Zadar General Hospital, Department of Hematology, Zadar and ¹Merkur University Hospital, Clinical Department of Internal Medicine, Zagreb, Croatia

Objective: Diffuse large B-cell lymphoma (DLBCL) with germinal center B-cell (GCB) phenotype has better prognosis than activated mature B-cell (ABC) phenotype or type 3 subgroup. Previous studies have reported on a major role of the nuclear factor-κB (NF-κB) in ABC and type 3 phenotypes, whereas GCB phenotype is characterized by frequent REL amplifications. **Methods:** In 99 patients diagnosed with DLBCL, the presence of CD10, BCL6 and MUM1 was analyzed by immunohistochemical method to divide them into the GCB, ABC and type 3 subgroups. Then, NF-κB expression was analyzed in the nucleus and cytoplasm. Nuclear NF-κB expression was detected in 22 (22%) cases from all DLBCL subgroups. NF-κB expression in the cytoplasm was recorded in 77 (77%) cases from all DLBCL subgroups and this finding was significant. **Results:** Results on the presence of CD10, BCL6 and MUM1 and the presence of NF-κB in the nucleus were not significant. Analysis of nuclear NF-κB accumulation is not associated with any of the clinical parameters including age, sex, stage of disease, therapy administered and IPP. According to Hans *et al.*, patients with NF-κB expressed in the cytoplasm have significantly poorer survival irrespective of the subgroup than patients without cytoplasmic NF-κB, and these results are significant. Patients with GCB phenotype and negative nuclear NF-κB expression have better survival than those with GCB phenotype and positive nuclear NF-κB expression, and these results are also significant. Patients having received chemotherapy according to the R-CHOP schedule and with positive nuclear NF-κB expression have better survival; however, these results are not significant. **Discussion and Conclusion:** These data suggest that nuclear and cytoplasmic NF-κB expression may be a prognostic factor in DLBCL, thus explaining the stratified risk observed in patients in combination with GCB/non-GCB phenotype. Our study showed the NF-κB activity to be crucial in all DLBCL subgroups, thus potentially representing a promising molecular target for future therapies.

Key words: nuclear factor-κB, diffuse large B-cell lymphoma, prognosis